

ПЕРЕЛІК ДЖЕРЕЛ ПОСИЛАННЯ

1. ДСТУ 3008-15. Документація. Звіти у сфері науки та техніки. структура та правила оформлення. Введ. 2015-06-22. К. Держстандарт України, 2017. - 29 с.
2. Методичні вказівки з підготовки кваліфікаційної роботи бакалавра для здобувачів першого (бакалаврського) рівня вищої освіти спеціальності 151 Автоматизація та комп'ютерно-інтегровані технології освітньої програми «Системна інженерія» / Упоряд.: І.Ш. Невлюдов, О.М. Цимбал, О.В. Токарева, А.І. Бронніков. Харків: ХНУРЕ, 2022. - 66 с.
- 3 Кафедра комп'ютерно-інтегрованих технологій, автоматизації та мехатроніки. Про нас. Офіційний сайт кафедри КІТАМ ХНУРЕ . Режим доступу: <https://tapr.nure.ua/golovna/pro-nas>. Дата доступу: 24.04.2025.
4. Закон України “Про вищу освіту” від 01.07.2014 № 1556-VII. Режим доступу: <https://zakon.rada.gov.ua/laws/show/1556-18#Text>
5. Положення про організацію освітнього процесу у ХНУРЕ [електронний ресурс]: Наказ ХНУРЕ від 27.11.2020 р. № 400. Режим доступу: https://nure.ua/wp-content/uploads/Main_Docs_NURE/polozhennja-pro-organizaciju-osvitnogo-procesu-v-hnure.pdf
- 6 Положення про академічну доброчесність [Електронний ресурс]: Наказ ХНУРЕ від 02 лютого 2021 р. № 50. – Режим доступу: https://nure.ua/wpcontent/uploads/Main_Docs_NURE/polozhennja-pro-akademi-chnu-dobrochesnist.pdf.
- 7 Іванов Ю.С. Система автоматизованого контролю та підтримки оптимального рівня освітленості у приміщеннях / Ю.С. Іванов, К.В. Силчук // Автоматизація та приладобудування («Automation and Development of Electronic Devices» ADED-2023): збірник студентських наукових статей / Харківський національний університет радіоелектроніки; Харків: ХНУРЕ, 2023. – Вип. 1. С.287-290.

8 Навчальний посібник з підготовки кваліфікаційної роботи бакалавра для здобувачів вищої освіти денної і заочної форм навчання спеціальності 151 «Автоматизація та комп'ютерно-інтегровані технології» освітньої програми «Автоматизація та комп'ютерно-інтегровані технології» : Навчальний посібник / І. Ш. Невлюдов, В.А. Андрусевич, О. В. Токарева, С. П. Новоселов, О. В. Сичова. – Харків : Видавництво Іванченка І. С., 2022. 151 с.

9 Комерційне інтегроване середовище розробки IntelliJ IDEA [Електронний ресурс] / Режим доступу: https://uk.wikipedia.org/wiki/IntelliJ_IDEA

10 Невлюдов І. Ш. ВЕАМ робототехніка / І. Ш. Невлюдов, В. В. Євсєєв, С.С. Максимова. – 2024. – 276 с.

11 Кафедра комп'ютерно-інтегрованих технологій, автоматизації та робототехніки (KITAP). nure. URL: <https://nure.ua/department/kafedra-komp-yuterno-integrovanih-tehnologiy-avtomatizatsiyi-ta-mehatroniki-kitam> (дата звернення: 24.04.2025).

12 Верстатний профіль 30x30 T-track без покриття (3842990720). alu-met.com.ua. URL: https://alu-met.com.ua/stanochnij-profil-30h30-t-track-bez-pokritija--3842990720-/?gclid=Cj0KCQjw5azABhD1ARIsAA0WFUHXI93JzwMcY9szTlyZahvUp31GyIQZ65cUY_U04Fw22qQLYEaIBOIaArIIEALw_wcB (дата звернення: 24.04.2025).

13 Re-D-Bot v1 - бюджетний CoreXY 3D-принтер. red-bot.dipteam.com URL: https://red-bot.dipteam.com/pages/ru/printers/v1/assembly/parts_frames/ (date of access: 24.04.2025).

14 An Alternative Parallel Mechanism for Horizontal Positioning of a Nozzle in an FDM 3D Printer URL: https://www.researchgate.net/figure/a-Schematic-of-a-printer-with-Cartesian-XZ-head-architecture-b-The-same-for-XY_fig2_361758640 (date of access: 24.04.2025).

15 An Alternative Parallel Mechanism for Horizontal Positioning of a Nozzle in an FDM 3D Printer. researchgate URL:https://www.researchgate.net/figure/Schematic-of-an-H-bot-routing-as-seen-from-the-top-of-the-printer-The-pulleys_fig3_361758640 (date of

access: 24.04.2025).

16 3D Printers with Different Kinematics: Comparison, Advantages and Disadvantages. top3dshop. URL: <https://top3dshop.com/blog/3d-printer-kinematics-explained> (дата звернення: 24.04.2025).

17 MKS Gen V1.4 плата керування для 3D принтера. mini-tech.com.ua. URL: <https://www.mini-tech.com.ua/ua/mks-gen> (дата звернення: 24.04.2025).

18 MKS Robin Nano V1.2. grabcad.com. URL: <https://grabcad.com/library/mks-robin-nano-v1-2-1> (дата звернення: 24.04.2025).

19 Creality Ender6 Board V4.3.1. grabcad.com. URL: <https://grabcad.com/library/creality-ender6-board-v4-3-1-1> (дата звернення: 09.02.2024).

20 Basic features of Orange Pi Zero 3 www.orangepi.org. URL: http://www.orangepi.org/orangepiwiki/index.php/Orange_Pi_Zero_3#Basic_features_of_Orange_Pi_Zero_3 (дата звернення: 24.04.2025).

21 Raspberry Pi 4 Model B grabcad.com. URL: <https://grabcad.com/library/raspberry-pi-4-model-b-1> (дата звернення: 24.04.2025).

22 NVIDIA Jetson Nano. grabcad.com. URL: <https://grabcad.com/library/nvidia-jetson-nano-2> (date of access: 24.04.2025).

23 Кроковий двигун NEMA17 17HS4401 4кг. uamper.com. URL: https://uamper.com/index.php?route=product/product&path=380&product_id=267&gad_source=1&gbraid=0AAAAADk5dvqjvj47Fbs21XCZNbl47GYri&gclid=Cj0KCQjw5azABhD1ARIsAA0WFUGs7dK8EkzQIZwlM_3ASPZHqzC7o_8cFGy4_CL_u1LLx1aGk5RBB4EaAgriEALw_wcB (дата звернення: 24.04.2025).

24 Кроковий двигун Nema23 23HS8430. uamper.com. URL: https://uamper.com/index.php?route=product/product&path=380&product_id=1163&gad_source=1&gbraid=0AAAAADk5dvqjvj47Fbs21XCZNbl47GYri&gclid=Cj0KCQjw5azABhD1ARIsAA0WFUF1IDHVq0EdA6siz-FACI3RxUfn9at6jFCKBkf312NPGIjF7yB0UDwaAj3bEALw_wcB (дата звернення: 24.04.2025).

25 Кроковий двигун Nema 14 OK35STH28-0754A. voron.ua. URL:

<https://voron.ua/catalog/040722--shagovyy-dvigatel-nema-14-ok35sth28-0754a?lang=ua> (дата звернення: 04.02.2025).

26 Акселерометр ADXL345 USB Mellow Mellow ADXL345 USB Mellow. screwmaker.com.ua. URL: <https://screwmaker.com.ua/akselerometr-adxl345-usb-mellow> (дата звернення: 24.04.2025).

27 3-осний акселерометр ADXL345 DFRobot. miniboard.com.ua. URL: <https://miniboard.com.ua/sensors/664-3-kh-osevoj-akselerometr-adxl345-dfrobot.html> (дата звернення: 24.04.2024).

28 Measuring Resonances Klipper <https://www.klipper3d.org> URL: https://www.klipper3d.org/Measuring_Resonances.html. (дата звернення: 24.04.2024)

29 CoreXY reprap.org URL: <https://reprap.org/wiki/CoreXY> (дата звернення: 24.04.2024)

30 MKS GEN reprap.org URL: https://reprap.org/wiki/MKS_GEN (дата звернення: 24.04.2024)

31 Pressure advance klipper3d.org URL: https://www.klipper3d.org/Pressure_Advance.html (дата звернення: 24.04.2024)

32 Linear Advance marlinfw.org URL: https://marlinfw.org/docs/features/lin_advance.html (дата звернення: 24.04.2024)

33 Hutchinson S., Vidyasagar M., Spong M. W. Robot Modeling and Control. Wiley & Sons, Incorporated, John, 2020. 608 с. дата звернення: 24.04.2024)

34 Investigating pressure advance algorithms for filament-based melt extrusion additive manufacturing: theory, practice and simulations / S. Arnts та ін. 2019. 839 с. дата звернення: 24.04.2024)

35 Комплекс навчально-методичного забезпечення навчальної дисципліни «Безпека праці в індустрії ІТ-технологій» підготовки освітнього рівня бакалавр усіх спеціальностей та усіх напрямів університету [<http://catalogue.nure.ua/knmz>] / ХНУРЕ; розроб.: Т. Є. Стиценко, Г. В. Пронюк, Н. М. Сердюк. – Харків, 2017. – 122 с

ДОДАТОК А

Код програми:

```
#include <iostream>
#include <fstream>
#include <vector>
#include <string>
#include <sstream>
#include <regex>
#include <cmath>
#include <iomanip>

// For UTF-8 support on Windows
#ifdef _WIN32
#include <windows.h>
#endif

// PI constant
const double M_PI = 3.14159265358979323846;

// Structure to store coordinates
struct Point {
    double x, y, z;
    Point(double x_ = 0.0, double y_ = 0.0, double z_ = 0.0) : x(x_), y(y_), z(z_)
}

};

Point correctPointSingleAngle(const Point& p, double theta) {
    // CF – ідеальна позиція по y
    double CF = p.y;
```

```

// Обчислюємо горизонтальний зсув GF з трикутника FGD:
double GF = CF * std::sin(theta * M_PI / 180.0);
// Обчислюємо GD – сусідній катет трикутника FGD:
double GD = CF * std::cos(theta * M_PI / 180.0);
// Вертикальний зсув GC = CF - GD:
double GC = CF - GD;

// Нові координати обчислюються як:
// x коригується на GF, а y – на GC.
return Point(p.x - GF, p.y - GC, p.z);
}

Point correctPointDualAngle(const Point& p, double alpha, double beta) {
// alpha – кут зміщення осі Y (відносно ідеальної вертикалі)
// beta – кут зміщення осі X (відносно ідеальної горизонталі)
//
// В ідеальній моделі точка має координати (x, y)
// Реальна координата визначається як:
//  $x' = x \cdot \cos(\beta) + y \cdot \sin(\alpha)$ 
//  $y' = x \cdot \sin(\beta) + y \cdot \cos(\alpha)$ 
// Тобто, вектор зміщення:
//  $\Delta x = x \cdot (\cos(\beta) - 1) + y \cdot \sin(\alpha)$ 
//  $\Delta y = x \cdot \sin(\beta) + y \cdot (\cos(\alpha) - 1)$ 
//
// Перекладаємо кутові значення з градусів у радіани.
double radAlpha = alpha * M_PI / 180.0;
double radBeta = beta * M_PI / 180.0;

double deltaX = p.x * (std::cos(radBeta) - 1.0) + p.y * std::sin(radAlpha);

```

```

double deltaY = p.x * std::sin(radBeta) + p.y * (std::cos(radAlpha) - 1.0);

return Point(p.x - deltaX, p.y - deltaY, p.z);
}

// Форматуємо рядок G-коду без параметру E
std::string formatGCodeLine(const std::string& command, const Point& p) {
    std::stringstream ss;
    ss << command << " X" << std::fixed << std::setprecision(3) << p.x
        << " Y" << p.y << " Z" << p.z;
    return ss.str();
}

// Calculate distance in XY plane
double distanceXY(const Point& p1, const Point& p2) {
    return std::sqrt(std::pow(p2.x - p1.x, 2) + std::pow(p2.y - p1.y, 2));
}

// Generate visualization code for GNU Octave
void generateOctaveVisualization(const std::vector<Point>& pointsBefore,
const std::vector<Point>& pointsAfter) {
    std::ofstream beforeFile("before.txt");
    std::ofstream afterFile("after.txt");

    if (!beforeFile.is_open() || !afterFile.is_open()) {
        std::cerr << "Error: Unable to open visualization files" << std::endl;
        return;
    }

    beforeFile << "x = [";

```

```

for (size_t i = 0; i < pointsBefore.size(); ++i) {
    beforeFile << pointsBefore[i].x << (i < pointsBefore.size() - 1 ? " : "; " : "");
}
beforeFile << "];\n";
beforeFile << "y = [";
for (size_t i = 0; i < pointsBefore.size(); ++i) {
    beforeFile << pointsBefore[i].y << (i < pointsBefore.size() - 1 ? " : "; " : "");
}
beforeFile << "];\n";
beforeFile << "z = [";
for (size_t i = 0; i < pointsBefore.size(); ++i) {
    beforeFile << pointsBefore[i].z << (i < pointsBefore.size() - 1 ? " : "; " : "");
}
beforeFile << "];\n";
beforeFile << "plot3(x, y, z, 'b.-', 'LineWidth', 1, 'MarkerSize', 10);\n";
beforeFile << "title('Points before correction');\n";
beforeFile << "xlabel('X axis (mm));\n";
beforeFile << "ylabel('Y axis (mm));\n";
beforeFile << "zlabel('Z axis (mm));\n";
beforeFile << "grid on;\n";
beforeFile << "view(3);\n";
beforeFile << "axis equal;\n";

afterFile << "x = [";
for (size_t i = 0; i < pointsAfter.size(); ++i) {
    afterFile << pointsAfter[i].x << (i < pointsAfter.size() - 1 ? " : "; " : "");
}
afterFile << "];\n";
afterFile << "y = [";
for (size_t i = 0; i < pointsAfter.size(); ++i) {

```

```

        afterFile << pointsAfter[i].y << (i < pointsAfter.size() - 1 ? " "; " : "");
    }
    afterFile << "];\n";
    afterFile << "z = [";
    for (size_t i = 0; i < pointsAfter.size(); ++i) {
        afterFile << pointsAfter[i].z << (i < pointsAfter.size() - 1 ? " "; " : "");
    }
    afterFile << "];\n";
    afterFile << "plot3(x, y, z, 'r.-', 'LineWidth', 1, 'MarkerSize', 10);\n";
    afterFile << "title('Points after correction');\n";
    afterFile << "xlabel('X axis (mm));\n";
    afterFile << "ylabel('Y axis (mm));\n";
    afterFile << "zlabel('Z axis (mm));\n";
    afterFile << "grid on;\n";
    afterFile << "view(3);\n";
    afterFile << "axis equal;\n";

    beforeFile.close();
    afterFile.close();
    std::cout << "Visualization code saved to before.txt and after.txt" << std::endl;
}

// Process G-code with angle correction
// Під час обробки парсимо лише координати X, Y, Z
void processGCode(const std::string& inputFilename, const std::string&
outputFilename,
    double theta, double phi, bool twoAngles) {

    std::ifstream inFile(inputFilename);
    std::ofstream outFile(outputFilename);

```

```

if (!inFile.is_open() || !outFile.is_open()) {
    std::cerr << "Error: Unable to open files" << std::endl;
    return;
}

std::vector<Point> beforePoints, afterPoints;
double currentX = 0.0, currentY = 0.0, currentZ = 0.0;
Point previousPoint(0.0, 0.0, 0.0);
double previousZ = 0.0;

// Парсимо лише X, Y, Z;
std::regex coordRegex("(X-?\d*\.\d*)(Y-?\d*\.\d*)(Z-?\d*\.\d*)");
std::regex commandRegex("^(G0|G1)\s");
std::string line;

while (std::getline(inFile, line)) {
    if (line.empty() || line[0] == ';' || line[0] == '(' ||
        (line.find("G0 ") == std::string::npos && line.find("G1 ") ==
std::string::npos)) {
        outFile << line << "\n";
        continue;
    }

    std::smatch commandMatch;
    std::string command = "G0";
    if (std::regex_search(line, commandMatch, commandRegex)) {
        command = commandMatch[1].str();
    }
}

```

```

double newX = currentX, newY = currentY, newZ = currentZ;
std::smatch match;
std::string::const_iterator searchStart(line.cbegin());
while (std::regex_search(searchStart, line.cend(), match, coordRegex)) {
    for (size_t i = 1; i < match.size(); ++i) {
        if (match[i].matched) {
            std::string coord = match[i].str();
            if (coord[0] == 'X')
                newX = std::stod(coord.substr(1));
            else if (coord[0] == 'Y')
                newY = std::stod(coord.substr(1));
            else if (coord[0] == 'Z')
                newZ = std::stod(coord.substr(1));
        }
    }
    searchStart = match.suffix().first;
}

```

```

Point idealPoint(newX, newY, newZ);
beforePoints.push_back(idealPoint);
currentX = newX;
currentY = newY;
currentZ = newZ;

```

```

Point correctedPoint;
if (twoAngles)
    correctedPoint = correctPointDualAngle(idealPoint, theta, phi);
else
    correctedPoint = correctPointSingleAngle(idealPoint, theta);

```

```
afterPoints.push_back(correctedPoint);

outFile << formatGCodeLine(command, correctedPoint) << "\n";

previousPoint = correctedPoint;
previousZ = currentZ;
}

inFile.close();
outFile.close();
std::cout << "New G-code saved to " << outputFilename << std::endl;

generateOctaveVisualization(beforePoints, afterPoints);
}

int main() {
#ifdef _WIN32
    SetConsoleOutputCP(CP_UTF8);
    SetConsoleCP(CP_UTF8);
#endif
    std::cout.imbue(std::locale(""));

    int choice;
    std::cout << "Choose correction type: 1 - one angle, 2 - two angles: ";
    std::cin >> choice;

    double theta, phi = 0.0;
    std::cout << "Enter angle theta in degrees: ";
    std::cin >> theta;
    if (choice == 2) {
```

```

        std::cout << "Enter angle phi in degrees: ";
        std::cin >> phi;
    }

    processGCode("input.txt", "NewGcode.txt", theta, phi, choice == 2);

    return 0;
}

```

Код розробленого макросу :

```

# -----
# Файл: filament_sensor.cfg
# Призначення: Налаштування оптичного енодера FC-03 LM393
# та макросу перевірки подачі філаменту з діалоговим вікном
# -----

#####

#

# 1) Налаштування оптичного енодера як датчика швидкості
#####

#

[filament_motion_sensor filament]
switch_pin: ^PA6
pulses_per_rotation: 20
rotation_distance: 88.91
filter_count: 2

#####

#

# 2) Макрос порівняння швидкостей із діалоговим вікном у UI
#####

#

```

```
[gcode_macro CHECK_FILAMENT]
```

```
# Принцип роботи:
```

```
# • З G-code (F-параметр) передаємо бажану лінійну швидкість подачі  
філаменту в мм/с.
```

```
# • Сенсор FC-03 (LM393) зчитує фактичну швидкість руху філаменту,
```

```
# обчислену як кількість імпульсів за секунду, помножену на відстань за  
оберт.
```

```
# • Всередині макроса порівнюються бажана та фактична швидкості.
```

```
# • Результат (ОК або Недоподача) виводиться у вебморду Mainsail через  
Macro Prompts.
```

```
description:
```

```
"""
```

```
Перевірка подачі філаменту:
```

```
• DESIRED – бажана швидкість (мм/с) з G-code
```

```
• THRESHOLD – мінімальна допускова частка (0.9 = 90%)
```

```
• Принцип: якщо фактична < DESIRED × THRESHOLD →
```

```
попередження і пауза
```

```
"""
```

```
default_parameter_THRESHOLD: 0.9
```

```
gcode:
```

```
{% set desired = params.DESIRED|float % }
```

```
{% set threshold = params.THRESHOLD|float % }
```

```
{% set actual = printer.filament_motion_sensor.filament.speed % }
```

```
# action:prompt_begin Перевірка подачі філаменту
```

```
# action:prompt_text Бажано: { '{:.1f}'.format(desired) } мм/с
```

```
# action:prompt_text Фактично: { '{:.1f}'.format(actual) } мм/с
```

```
{% if actual < desired * threshold % }
```

```
# action:prompt_text Статус: Недоподача!
```

```
PAUSE
```

```
{% else % }
```

```
# action:prompt_text Статус: Подача в нормі
```

```
{% endif % }
```

```
# action:prompt_button Закрити||primary
```

ДОДАТОК Б

Демонстраційний матеріал



Рисунок Б.1–Титульний аркуш демонстраційного матеріалу

ЗМІСТ

- Актуальність роботи
- Мета роботи
- Об'єкт , предмет розробки
- Вибір апаратних модулів , збірка розробленого стенду
- Налаштування Input Shaping
- Реалізація методу корекції геометрії 3D-моделей

- Реалізація методу контролю екструзії

Рисунок Б.2–Зміст демонстраційного матеріалу

Актуальність

Актуальність даної роботи визначається необхідністю створення інструментальних засобів для об'єктивного контролю ключових статико-динамічних параметрів FFF/FDM принтерів, що дозволить оптимізувати їх роботу для досягнення вищих швидкостей друку без суттєвої втрати якості.



Рисунок Б.3–Слайд 3 демонстраційного матеріалу

Мета

Мета роботи – оптимізація високошвидкісного 3D-друку шляхом розробки і реалізації комплексу для контролю та калібрування параметрів, що впливають на якість 3D-друку, при високих параметрах швидкості зокрема шляхом застосування алгоритмів Input Shaping та Pressure Advance/Linear Advance.

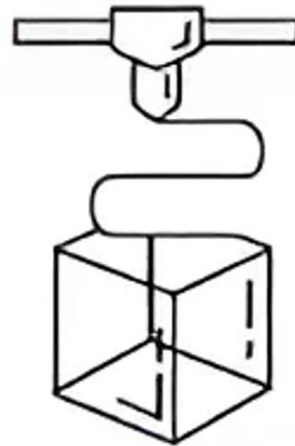


Рисунок Б.4– Слайд 4 демонстраційного матеріалу

Об'єкт, предмет розробки

- Об'єкт розробки – технологічний процес екструзійного FFF/FDM 3D-друку.
- Предмет дослідження – методи та алгоритми компенсації програмних та конструкційних відхилень 3D принтеру, що впливають на якість друку.

Рисунок Б.5– Слайд 5 демонстраційного матеріалу

Вибір апаратних модулів

- Обрані апаратні модулі та кінематика для реалізації стенду:
 - Кінематика: CoreXY – забезпечує високошвидкісний, точний рух друкуючої головки з мінімальною інерцією.
 - Плата управління: MKS Gen 1.4 – стабільна платформа, сумісна з сучасними прошивками (Klipper, Marlin).
 - Крокові двигуни: NEMA 17 – забезпечують оптимальний баланс між крутним моментом, точністю та компактністю.
 - Одноплатний ПК: Orange Pi Zero 3 – ефективний сервер для керування процесами друку.
 - Датчик: Акселерометр Mellow Fly ADXL345 – для вимірювання вібрацій та реалізації алгоритмів Input Shaping.

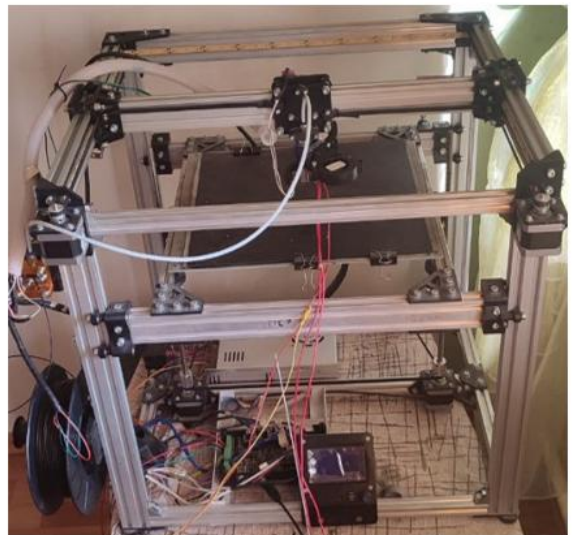


Рисунок Б.6– Слайд 6 демонстраційного матеріалу

Налаштування Input Shaping

- Для компенсації вібрацій друкуючої головки застосовано алгоритм Input Shaping, який формує послідовність імпульсів для гасіння резонансних коливань.
- За результатами розрахунків основна резонансна частота осі X становить приблизно 35 Гц.
- ZV shaper (Zero Vibration):
 - Два імпульси з амплітудами 0.5;
 - Перший імпульс подається в момент часу $t = 0$, другий – із затримкою $\sim 14,32$ мс.
- ZVD shaper (Zero Vibration Derivative):
 - Три імпульси з амплітудами 0.25, 0.5 і 0.25;
 - Затримки: $t = 0$, $t \approx 14,32$ мс мста $t \approx 28,64$ мс.

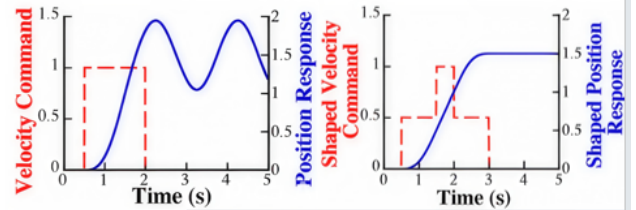
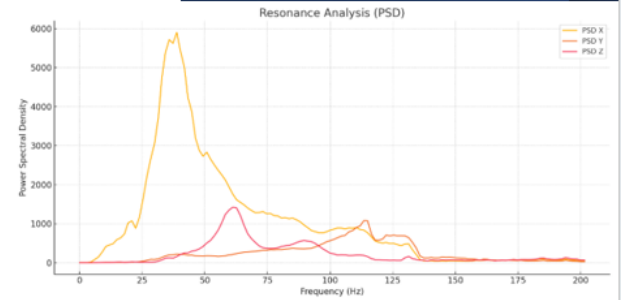


Рисунок Б.7– Слайд 7 демонстраційного матеріалу

Реалізація методу корекції геометрії 3D-моделей

- Однокутова корекція:
 - Використовується для компенсації глобальних помилок через відхилення осей.
 - Горизонтальний зсув обчислюється як $GF = CF \cdot \sin(\theta)$, де CF – ідеальна координата по осі Y, а θ – вимірний кут відхилення.
 - Вертикальний зсув визначається як $GC = CF - CF \cdot \cos(\theta)$.
 - Нові координати розраховуються як: $x' = x - GF$, $y' = y - GC$.
- Двокутова корекція:
 - Забезпечує адаптивну трансформацію координат з урахуванням двох параметрів (кутів) відхилення осей.
 - Формули перетворення: $x' = x \cdot \cos(\beta) + y \cdot \sin(\alpha)$ та $y' = x \cdot \sin(\beta) + y \cdot \cos(\alpha)$,
 - де α і β – відповідні кути відхилення для осей Y та X.
 - Обрані методи дозволяють для кожної точки моделі адаптивно визначити векторні зсуви та компенсувати як глобальні, так і локальні геометричні спотворення.

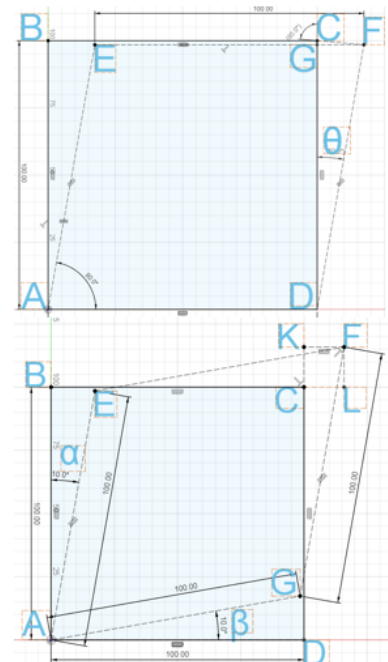


Рисунок Б.8– Слайд 8 демонстраційного матеріалу

Візуалізація реалізації корекції геометрії 3д-моделей

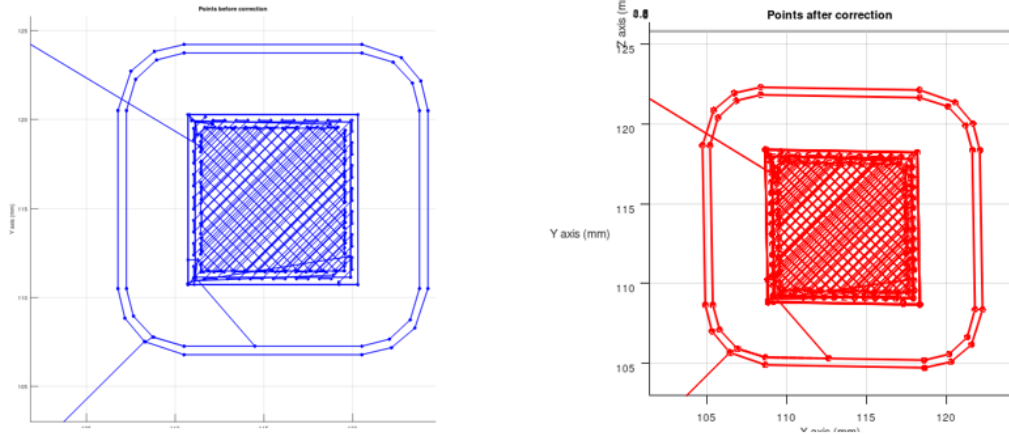


Рисунок Б.9– Слайд 9 демонстраційного матеріалу

Контроль екструзії

- - Впроваджено систему моніторингу фактичного подання філаменту з використанням оптичного енкодера (FC-03), встановленого на фідері.
- - Запланована екструзія визначається параметром F у G-кодї, що задає бажану швидкість подачі матеріалу.
- - Реальна швидкість подачі розраховується на основі імпульсів від оптичного енкодера та порівнюється із запланованою; якщо вона нижча за $(\text{DESIRED} \times \text{THRESHOLD})$, де THRESHOLD за замовчуванням 0.9), система генерує попередження «Недоподача» і приймає заходи, наприклад, зупиняє друк.

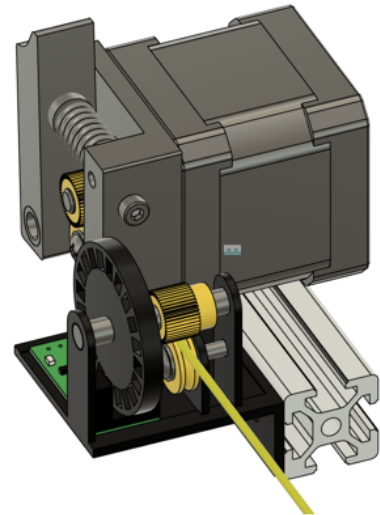


Рисунок Б.10– Слайд 10 демонстраційного матеріалу

